4H-SiC-фотодиоды с микронаноструктурированной поверхностью приемной области

© А.В. Афанасьев 1, В.В. Забродский 2, В.А. Ильин 1, А.В. Серков 1, В.В. Трушлякова 1, Д.А. Чигирев 1

194021 Санкт-Петербург, Россия

E-mail: avafanasev@etu.ru

Поступила в Редакцию 20 февраля 2025 г. В окончательной редакции 14 апреля 2025 г. Принята к публикации 17 апреля 2025 г.

Исследована возможность применения метода реактивного ионно-плазменного травления для формирования широкополосных антиотражающих структур на поверхности фотоприемных областей $p^+ - n - n^+$ -фотодиодов на основе 4H-SiC. Показано, что в процессе травления при использовании алюминиевых масок с толщинами ~ 50 нм наряду с утончением верхнего p^+ -эпислоя на его поверхности за счет эффекта микромаскирования SiC формируется самоупорядоченная профилированная структура с доминирующим острийным рельефом 600-800 нм. Ее наличие позволяет повысить внешний квантовый выход 4H-SiC-фотодиодов.

Ключевые слова: 4H-SiC, p^+ -n- n^+ -фотодиод, УФ диапазон, микропрофилирование, реактивное ионноплазменное травление — РИПТ, Al-маска, чувствительность, внешний квантовый выход — ВКВ.

DOI: 10.61011/FTP.2025.01.60499.7633

1. Введение

Карбид кремния (SiC) благодаря уникальной совокупности свойств (большая ширина запрещенной зоны, высокая напряженность электрического поля пробоя, высокая теплопроводность, химическая, термическая и радиационная стойкость) является полупроводниковым материалом для создания высокоэффективных силовых, СВЧ и оптоэлектронных приборов ультрафиолетового (УФ) диапазона. Известно, что УФ SiC-фотоприемники (ФП), выполненные на гексагональных политипах, были одними из первых коммерчески доступных SiCэлектронных устройств, продемонстрированных еще в 1990-х годах. В настоящее время УФ SiC-фотодетекторы реализованы на основе всех известных типов фотодиодных структур: Шоттки, металл-полупроводник-металл, p-i-n, металл-изолятор-полупроводник, структур лавинных фотодиодов как в дискретном, так и в матричном исполнении [1]. Тем не менее продолжаются исследования по разработке новых вариантов конструкции ФП, которые обеспечивают оптимальное сочетание малых темновых токов, высокой чувствительности (внешнего квантового выхода) и быстродействия [2].

В УФ области спектра чувствительность ФП определяется свойствами внешнего слоя (для SiC-фотодиодов — обычно p^+). В первую очередь его толщиной, которая должна быть минимальной, так как поглощенные кванты излучения в основном будут регистрироваться в области объемного заряда ФП и на расстоянии диффузионной длины от ее края [3]. С другой стороны, известно, что потери на отражение в 4H-SiC-ФП во всем

спектральном диапазоне их чувствительности (380 нм и менее) составляют > 20% [1]. Поэтому для повышения эффективности SiC-ФП наряду с уменьшением глубины залегания p-n-перехода создание антиотражающих покрытий путем формирования многослойных просветляющих структур [4] или изменения морфологии поверхности является важной задачей. Модификация поверхности карбида кремния может быть реализована методом кратковременного электрохимического травления, формирующего тонкий слой пористого SiC, наличие которого увеличивает эффективность ФП [5,6]. В работе [7] исследовалась возможность повышения чувствительности p^+ – n-фотодиодов на основе 4H-SiC путем варырования толщины фотоприемных p^+ -областей методом реактивного ионно-плазменного травления (РИПТ), где в качестве маски использована композиция Ni/Al. Следует отметить, что в данной работе не рассматривался эффект микронаноструктурирования поверхности карбида кремния в процессе РИПТ [8]. Он обусловлен двумя основными механизмами.

Первый механизм сводился к следующему. Травление тонкого (десятки нанометров) слоя алюминия на финишных этапах процесса приводит к образованию микроостровковой структуры маски с нарушением ее сплошности. При этом свободная от металла поверхность SiC травится с более высокой по сравнению с металлом скоростью, что приводит к формированию микрорельефа.

Вторым возможным механизмом формирования рельефа является следующий. В результате химических реакций компонентов плазмы с поверхностью, подвер-

¹ Санкт-Петербургский государственный электротехнический университет "ЛЭТИ" им. В.И. Ульянова (Ленина), 197022 Санкт-Петербург. Россия

² Физико-технический институт им. А.Ф. Иоффе Российской академии наук,

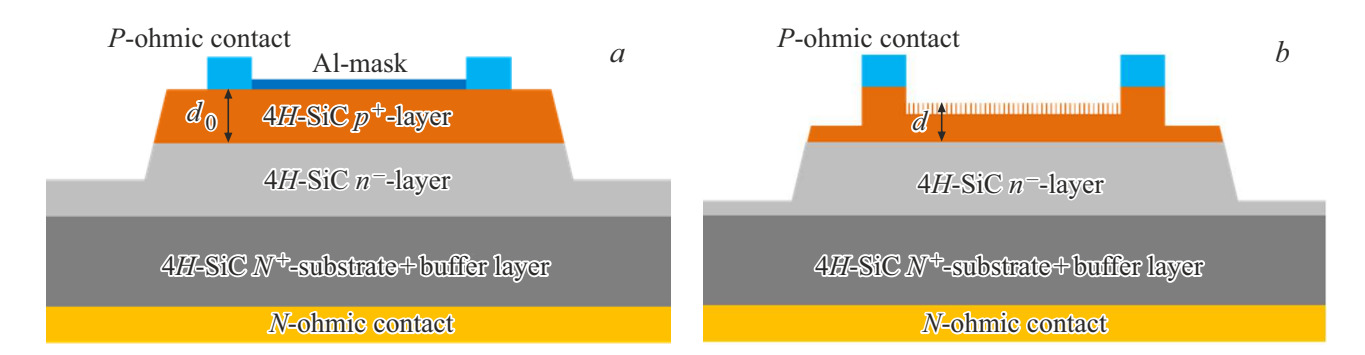


Рис. 1. Мезаэпитаксиальный фотодиодный 4H-SiC-чип: исходная структура с алюминиевой маской (a); после РИПТ (b).

гаемой травлению, образуются не только удаляемые из реакционного объема летучие соединения, но и нелетучие соединения в виде наночастиц, которые могут осаждаться плазмой на поверхность SiC. Например, при РИПТ SiC в среде SF₆-O₂-Ar с использованием алюминиевой маски возможны реакции с образованием летучих фторидов алюминия и нелетучих фторуглеродных и алюмооксидных соединений, которые вызывают эффект микронаномаскирования [9]. Оптимизация параметров режимов травления и подбор толщин алюминиевых масок позволяют формировать на поверхности SiC массивы микронаноразмерных острий высокой плотности [10]. Их наличие может как увеличивать чувствительность ФП за счет уменьшения коэффициента отражения, так и уменьшать ее за счет увеличения поверхностных центров рекомбинации и диффузного рассеяния света.

В настоящей статье, являющейся продолжением работы [7], представлены результаты исследований влияния на фотоэлектрические свойства 4H-SiC $\Phi\Pi$ массивов микронаноразмерных острий, сформированных методом РИПТ на поверхностях фотоприемных площадок ($\Phi\Pi\Pi$) с использованием Al-маскирующих покрытий различной толщины.

2. Методика эксперимента

Фотодиоды были изготовлены на p^+ –n– n^+ -эпиструктурах на основе 4H-SiC, полученных CVD-методом на n^+ -подложках диаметром 100 мм со следующими толщинами и уровнями легирования слоев:

- верхний p^+ -слой ($d_0=2$ мкм, $N_a-N_d>5\cdot 10^{19}$ см $^{-3}$); дрейфовый n-слой (10 мкм, $N_d-N_a<5\cdot 10^{14}$ см $^{-3}$);
- буферный n^+ -слой (2 мкм, $N_d-N_a>2\cdot 10^{18}\,\mathrm{cm}^{-3}$).

Конструкция и технологический маршрут изготовления SiC-ФП были идентичны описанным в работе [7] (рис. 1,a). После проведения измерений вольт-амперных (BAX) и вольт-фарадных (ВФХ) характеристик (рис. 2) пластина была разрезана на чипы и были выделены три группы образцов (см. таблицу). На ФПП образцов групп 2 и 3 через соответствующие контактные маски были нанесены тонкие пленки алюминия толщиной $d_{\rm Al}=50$ и $100\,{\rm hm}$ соответственно (рис. 1,a).

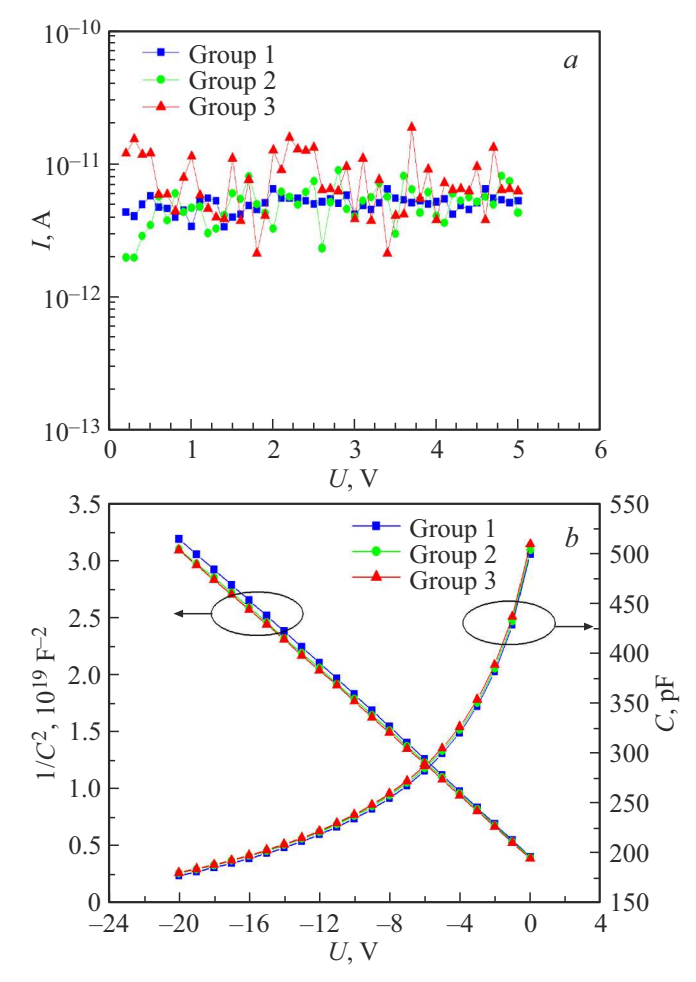


Рис. 2. Темновые ВАХ (a) и ВФХ $(f=1\,\mathrm{M}\Gamma\mathrm{II})$ (b) 4*H*-SiC-фотодиодов (образцы групп 1—3).

Выбор таких толщин, режимов осаждения алюминия и РИПТ основан на результатах исследований [10], продемонстрировавших возможность формирования массивов SiC-микронаноострий.

Учитывалось, что размер зерна металлического маскирующего покрытия играет важную роль в процессах модификации поверхности SiC методом РИПТ, так как

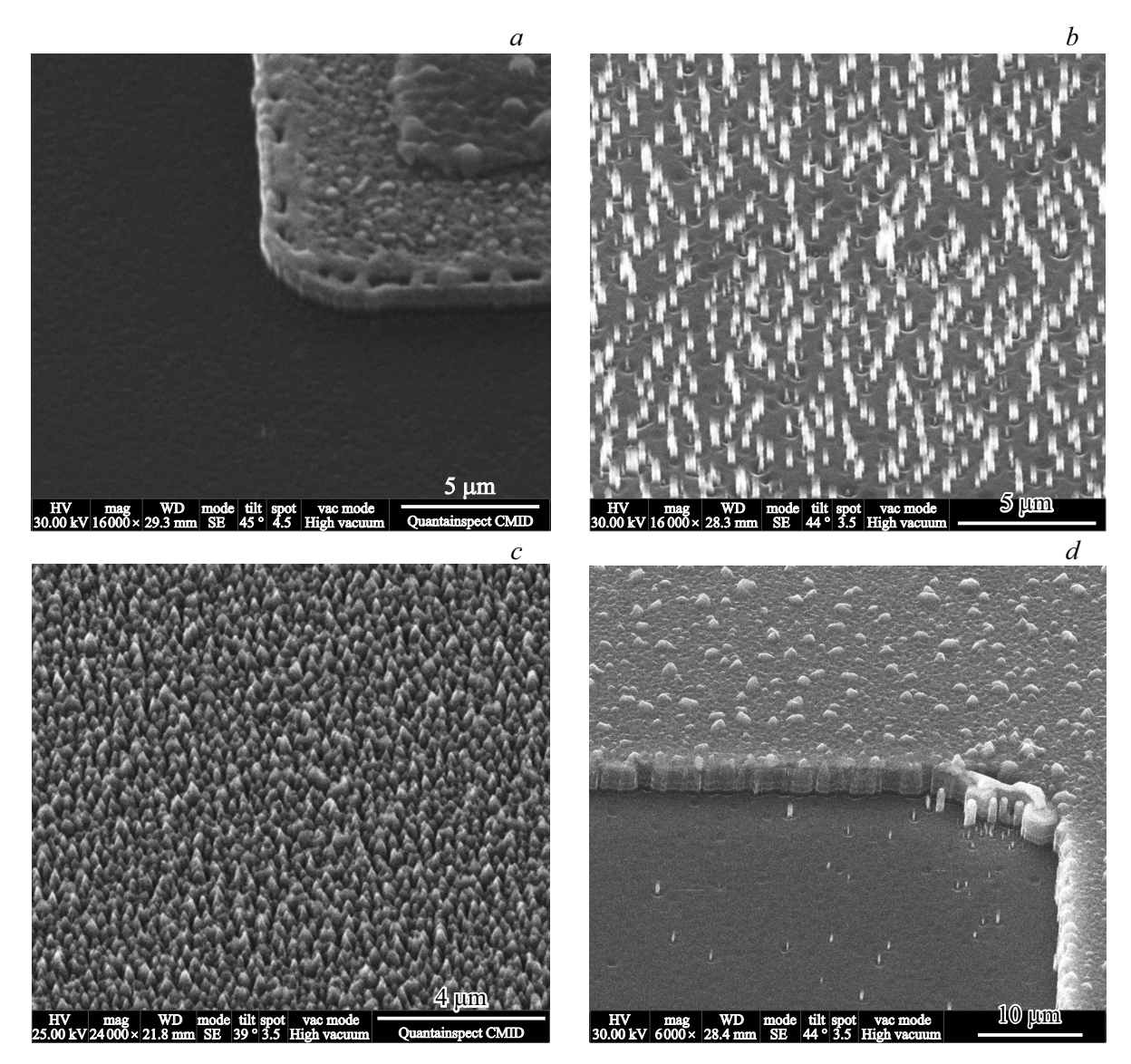


Рис. 3. РЭМ-изображения поверхностей фотоприемных площадок SiC- $\Phi\Pi$: a — образец группы 1 (приэлектродная область $\Phi\Pi\Pi$); b — образец группы 2; c — образец группы 3; d — образец из работы [7] (приэлектродная область $\Phi\Pi\Pi$).

Распределение SiC-ФП по группам

Номер группы образцов	$d_{ m Al}$, нм	РИПТ	d, MKM
1	0	_	2
2	50	+	1.2
3	100	+	1.2
Работа [7]	0	+	1.2

на начальных этапах РИПТ травление идет между зернами и чем их размер меньше, тем выше плотность микроострий на единицу площади. Поэтому для получения тонкопленочного покрытия с характерным размером зерен 30—40 нм нанесение алюминия осуществлялось методом магнетронного распыления, который позволяет

формировать поликристаллические пленки металла с зерном такого размера.

Процесс РИПТ образцов групп 2, 3, обеспечивающий селективность травления Al/SiC=1/15 и скорость травления SiC<0.1 мкм/мин, был реализован на ICP-установке "Caroline-15" в следующем режиме: температура процесса — $25\,^{\circ}$ С; давление в рабочей камере — $1.2\,\Pi a;$ среда — $SF_6:O_2:Ar$ (соотношение компонентов 4:1:2 соответственно); мощность ICP-источника — $350\,B t;$ ВЧ-мощность — $200\,B t.$ Время травления образцов было подобрано так, чтобы обеспечить суммарную толщину p^+ -слоя $d=1-1.2\,$ мкм (рис. 1,b), что позволяет провести сравнение характеристик с образцами, полученными нами в работе [7] (см. таблицу).

Исследования чувствительности образцов методом сравнения были проведены в режиме тока короткого

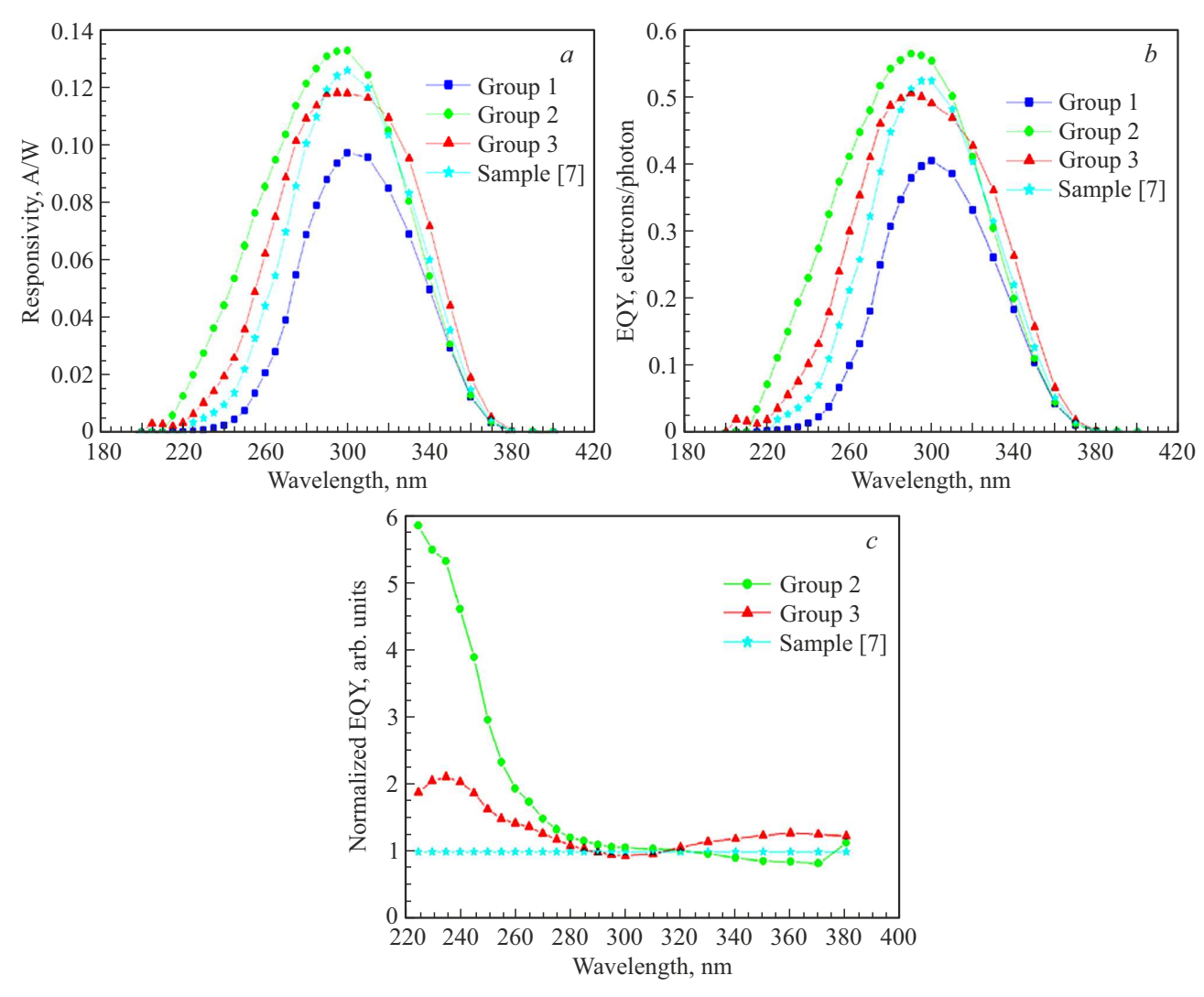


Рис. 4. Спектральные зависимости чувствительности (a), внешнего квантового выхода (b), нормированного к образцу [7] ВКВ 4*H*-SiC-фотодиодов.

замыкания в диапазоне длин волн $200-400\,\mathrm{hm}$ по методике, описанной в работе [7].

3. Экспериментальные результаты

Темновые ВАХ для образцов всех типов были измерены с помощью пикоамперметра "Кеіthley 6487". Значения обратных токов, измеренные в диапазоне 0-5 В, не превышали 100 пА (рис. 2,a). ВФХ образцов групп 2 и 3, измеренные на частоте 1 МГц, построены в координатах C(U). Они практически совпадают с характеристикой исходного образца группы 1 (рис. 2), т.е. площади p-n-переходов (S_{p-n}) SiC-ФП не изменились. Вероятно, в процессе РИПТ периферийные участки верхнего p^+ -слоя, не закрытые Аl-маской, не были полностью удалены (рис. 1,a). Из ВФХ, построенных в координатах $1/C^2(U)$ (рис. 2), в рамках модели резкого несимметричного p^+ -n-перехода при $S_{p-n}=0.1514$ см 2 определены

уровни легирования n-слоев для образцов 3 типов. Их значения составили $4-5\cdot 10^{14}\,\mathrm{cm}^{-3}$, что соответствует технологически заданным параметрам исходных 4H-SiC-эпиструктур.

Характеризация ФПП SiC-ФП осуществлялась методом РЭМ. Из рис. 3, a следует, что SiC-поверхность исходного образца (группа 1) не имеет микронаноразмерного рельефа. В образце сравнения из работы [7] явный микрорельеф после РИПТ также не наблюдается (рис. 3, d). В то же время на поверхности ФПП вблизи омических контактов к p^+ -области, выполненных из многокомпонентной структуры с верхним слоем из алюминия, присутствует незначительное количество микроострий. Вероятно, что при выбранном режиме РИПТ это может быть связано с дополнительным переосаждением алюминия и, как следствие, микронаномаскированием приэлектродных областей.

Из рис. 3 видно, что плотность микроострий существенно выше для образцов группы 3. При общей

толщине p^+ -слоя $d\approx 1.2\,\mathrm{mkm}$ ФПП образцов групп 2 и 3 характеризовались развитым микрорельефом со средними высотами микроострий 0.6-0.8 и $0.5-0.6\,\mathrm{mkm}$ соответственно (рис. 3,b,c). Такой микрорельеф превышает диапазон длин волн, в котором работает SiC-ФП. Поэтому оптические свойства профилированной SiC-поверхности будут определяться только ее геометрией и не будут зависеть от длины волны.

Для спектральных измерений фотодиодные чипы образцов групп 1, 2 и 3 были помещены в металлостеклянные корпуса на подкристальные платы и разварены. На рис. 4, а, b представлены спектральные характеристики внешнего квантового выхода (ВКВ) этих образцов, а также p-n-фотодиода на основе 4H-SiC с p^+ -слоем толщиной $d \approx 1.2$ мкм [7]. В коротковолновой области (< 280 нм) спектральных характеристик по сравнению с образцом [7] значения чувствительности и ВКВ (EQY) выше для образцов групп 2 и 3. Из рис. 4, c видно, что значительное увеличение ВКВ наблюдается для образцов группы 2. Вероятно, уширение спектра и изменение положения пика спектральной характеристики для образцов этой группы связаны как с изменением формы микропрофиля на поверхности ФПП, так и с уменьшением толщины непрофилированной части p^+ области ввиду существенно меньшей плотности микроострий по сравнению с образцами группы 3. В то же время для образцов группы 3, где по сравнению с группой 2 высота микроострий при более высокой их плотности была меньше на 100-200 нм, наблюдается уменьшение значения чувствительности в максимуме спектральной характеристики, а в длинноволновой части эффективность увеличивается на 20-30% (рис. 4, c). Вероятно, наличие такой поверхности (рис. 3, c) уменьшает геометрический коэффициент отражения, что приводит к повышению ВКВ в диапазоне длин волн 320-380 нм. Однако, как и предполагалось ранее, существенного увеличения ВКВ в коротковолновой области не наблюдается из-за увеличения плотности поверхностных центров рекомбинации и диффузного рассеяния света.

4. Заключение

Технология РИПТ с использованием тонких (до $100\,\mathrm{hm}$) пленок алюминия в качестве маскирующего покрытия позволяет создавать широкополосные антиотражающие слои на поверхностях фотоприемных областей 4H-SiC p^+-n-n^+ -фотодиодов. Установлено, что наиболее эффективным является применение Al-маски толщиной $\sim 50\,\mathrm{hm}$. Это позволяет контролируемо сформировать упорядоченный массив SiC-микроострий высотой $600-800\,\mathrm{hm}$ невысокой плотности и одновременно обеспечить в процессе РИПТ как утончение внешней фотоприемной p^+ -области, так и сформировать требуемый микрорельеф. Оба фактора дают вклад в существенный рост чувствительности SiC-ФП в C-УФ диапазоне. Применение алюминиевых масок толщиной $\sim 100\,\mathrm{hm}$

позволяет создать методом РИПТ на поверхности SiC высокоплотные массивы микроострий высотой < 500 нм и за счет уменьшения геометрического коэффициента отражения обеспечить повышение эффективности SiC-ФП во всем спектральном диапазоне его работы.

Конфликт интересов

Авторы заявляют об отсутствии конфликта интересов.

Список литературы

- [1] Stephen E. Saddow, Francesco La Via. *Advanced Silicon Carbide Devices and Processing* (IntechOpen, 2015).
- [2] Y. Hou, C. Sun, J. Wu, R. Hong, J. Cai, X. Chen, D. Lin, Z. Wu. Electron. Lett., 55, 216 (2019).
- [3] Т.В. Бланк, Ю.А. Гольдберг, Е.В. Калинина, О.В. Константинов, А.О. Константинов, А. Hallen. Письма ЖТФ, 27, 43 (2001).
- [4] F. Zhang, W. Yang, H. Huang, X. Chen, Z. Wu, H. Zhu, H. Qi; J. Yao; Z. Fan, J. Shao. Appl. Phys. Lett., 92, 251102 (2008).
- [5] А.В. Афанасьев, В.А. Ильин, Н.М. Коровкина, А.Ю. Савенко. Письма ЖТФ, 31, 1 (2005).
- [6] А.В. Афанасьев, В.А. Ильин. Нано- и микросистемная техника, **8** (85), 13 (2007).
- [7] А.В. Афанасьев, В.В. Забродский, В.А. Ильин, В.В. Лучинин, А.В. Николаев, А.В. Серков, В.В. Трушлякова, Д.А. Чигирев. ФТП, 56, 997 (2022).
- [8] T. Kimoto, J.A. Cooper. Fundamentals of silicon carbide technology: growth, characterization, devices and applications (Singapore, John Wiley & Sons, Inc., 2014).
- [9] M. Lazar, H. Vang, P. Brosselard, C. Raynaud, P. Cremillieu, J.-L. Leclercq, A. Descamps, S. Scharnholz, D. Planson. Superlat. Microstr., 40, 388 (2006).
- [10] A.V. Afanasyev, B.V. Ivanov, V.A. Ilyin, A.F. Kardo-Sysoev, M.A. Kuznetsova, V.V. Luchinin. Mater. Sci. Forum, 740–742, 1010 (2013).

Редактор Г.А. Оганесян

4H-SiC photodiodes with micronanostructured receiving surface

A.V. Afanasev¹, V.V. Zabrodskiy², V.A. Ilyin¹, A.V. Serkov¹, V.V. Trushlyakova¹, D.A. Chigirev¹

St. Petersburg Electrotechnical University,
 197022 St. Petersburg, Russia
 loffe Institute,
 194021 St. Petersburg, Russia

Abstract The possibility of using reactive-ion etching (RIE) to form broadband antireflective structures on the surface of photodetector areas of 4H-SiC p^+-n-n^+ -photodiodes was investigated. It is shown that during the RIE process utilizing aluminum masks (about 50 nm thick), along thinning of the upper p^+ -epilayer, a self-ordered profiled surface with a dominant sharp relief of $600-800\,\mathrm{nm}$ is formed due to the effect of micromasking of SiC surface. The formation of this microprofiled surface allows to increase the sensitivity and EQY of 4H-SiC photodiodes.